















其中,  $N_i = \left\lfloor \frac{L + R_i^{hf} - C_i}{T_i} \right\rfloor$ .

$\tau_i$  在  $L$  内的没有带入作业情况下最大有效负载、两种情况下的最大干涉及差值分别使用公式(2)~公式(5)计算.

(IV)  $PRIO_i < PRIO_k$  且出错任务优先级高于任务  $\tau_i$ . 此时,  $\tau_i$  产生最大有效负载的运行模式也和模式 I 相同, 只需将对  $\tau_i$  第 1 个作业的响应时间假设由  $R_i^{nf}$  改为  $R_i^{hf}$ , 即

$$WCI_i^{IV}(L) = N_i C_i + \min(C_i, L + R_i^{hf} - C_i - N_i T_i) \quad (22)$$

其中,  $N_i = \left\lfloor \frac{L + R_i^{hf} - C_i}{T_i} \right\rfloor$ .

$\tau_i$  在  $L$  内的没有带入作业情况下最大有效负载、两种情况下的最大干涉及差值分别使用公式(2)~公式(5)计算.

(V)  $PRIO_i > PRIO_k$  且任务  $\tau_i$  的主版本出错. 此时,  $\tau_i$  产生的最大有效负载和最大干涉和第 3.1 节中的 C 类型一致, 分别使用公式(11)和公式(12)计算.

至此, 可以求得任务集中任意一个任务在  $L$  内产生的最大干涉, 下面针对 4 种不同的出错模式(no-fault, self-fault, high-fault 和 low-fault)分别建立  $JP_k$  在问题窗口内受到的最大干涉总量和  $JP_k$  或  $JB_k$  最大响应时间的计算公式.

- no-fault(nf)

在问题窗口  $[r_k, R_k^{nf}]$  中, 只有高优先级任务产生 I 类干涉, 因此,  $JP_k$  受到的最大干涉总量为

$$I_k^{nf}(R_k^{nf}) = \sum_{PRIO_i < PRIO_k} INC_i^1(R_k^{nf}) + \sum_{\substack{PRIO_i < PRIO_k \\ \max(m-1)}} DIF_i^1(R_k^{nf}) \quad (23)$$

其中,  $\sum_{\substack{PRIO_i < PRIO_k \\ \max(m-1)}} DIF_i^1(R_k^{nf})$  表示干涉差项中前  $m-1$  大的所有项之和.

从  $R_k^{nf}(1) = C_k$  开始, 迭代计算公式(24)直至  $R_k^{nf}(n+1) = R_k^{nf}(n)$ ,  $R_k^{nf}(n)$  就是  $JP_k$  在系统中无错误情况下的最大响应时间, 即,  $\tau_k$  在系统中无错误情况下的最大响应时间  $R_k^{nf}$ :

$$R_k^{nf}(n+1) = C_k + \left\lfloor \frac{I_k^{nf}(R_k^{nf}(n))}{m} \right\rfloor \quad (24)$$

在公式(24)中,  $\left\lfloor \frac{I_k^{nf}(R_k^{nf}(n))}{m} \right\rfloor$  项表示的是: 在第  $n$  次迭代计算得到的  $R_k^{nf}(n)$  时间长度内, 高优先级作业占用所有处理器的最大时间长度, 如果在  $[r_k, R_k^{nf}(n)]$  内  $JP_k$  可以完成运行, 计算公式(24)会得到  $R_k^{nf}(n+1) = R_k^{nf}(n)$ . 如果在  $[r_k, R_k^{nf}(n)]$  内  $JP_k$  不能完成运行, 说明所有处理器被高优先级作业占用的最大时长  $\left\lfloor \frac{I_k^{nf}(R_k^{nf}(n))}{m} \right\rfloor$  和  $JP_k$  需要的时间  $C_k$  之和超过了这个时间区间的长度, 因此, 计算公式(24)会得到  $R_k^{nf}(n+1) > R_k^{nf}(n)$ , 需要进行迭代计算. 迭代计算过程中不会出现  $R_k^{nf}(n+1) < R_k^{nf}(n)$  的情况, 这里使用归纳法来证明:

在第 1 次迭代计算时,  $R_k^{nf}(1) = C_k$ ,  $\left\lfloor \frac{I_k^{nf}(R_k^{nf}(1))}{m} \right\rfloor \geq 0$ , 因此  $R_k^{nf}(2) \geq R_k^{nf}(1)$ .

假设有  $R_k^{nf}(n) = C_k + \left\lfloor \frac{I_k^{nf}(R_k^{nf}(n-1))}{m} \right\rfloor$  且  $R_k^{nf}(n) \geq R_k^{nf}(n-1)$ , 由于  $I_k^{nf}(L)$  函数是非减函数, 因此,

$$I_k^{nf}(R_k^{nf}(n)) \geq I_k^{nf}(R_k^{nf}(n-1)), \left\lfloor \frac{I_k^{nf}(R_k^{nf}(n))}{m} \right\rfloor \geq \left\lfloor \frac{I_k^{nf}(R_k^{nf}(n-1))}{m} \right\rfloor.$$

于是可以得到  $R_k^{nf}(n+1) \geq R_k^{nf}(n)$ .



- self-fault(sf)

在问题窗口  $[r_k, R_k^{sf}]$  中,在出错时刻前高优先级任务产生 I 类干涉,  $\tau_k$  的主版本作业  $JP_k$  出错后副本作业  $JB_k$  不受到干涉,  $JP_k$  出错时刻越迟,  $JB_k$  的响应时间也就越迟,而  $JP_k$  出错的最迟时间不会晚于其无错误情况下的最大响应时间,因此在自身主版本作业  $JP_k$  出错的情况下,  $\tau_k$  的最大响应时间为

$$R_k^{sf} = R_k^{nf} + E_k \quad (25)$$

- high-fault(hf)

假设出错任务为  $\tau_f(PRIO_f < PRIO_k)$ ,在问题窗口  $[r_k, R_k^{hf}]$  中,  $\tau_f$  产生 II 类型干涉,优先级高于  $\tau_f$  的任务产生 III 类型干涉,优先级低于  $\tau_f$  高于  $\tau_k$  的任务产生 IV 类型干涉,因此,  $JP_k$  受到的最大干涉总量为

$$I_k^{hf}(R_k^{hf}) = INC_f^{II}(R_k^{hf}) + \sum_{PRIO_i < PRIO_f} INC_i^{III}(R_k^{hf}) + \sum_{PRIO_j < PRIO_k} INC_j^{IV}(R_k^{hf}) + \sum_{\substack{PRIO_i < PRIO_k \\ PRIO_f < PRIO_j < PRIO_k \\ \max(m-1)}} (DIF_f^{II}(R_k^{hf}) \cup DIF_i^{III}(R_k^{hf}) \cup DIF_j^{IV}(R_k^{hf})) \quad (26)$$

其中,  $\sum_{\substack{PRIO_i < PRIO_k \\ PRIO_f < PRIO_j < PRIO_k \\ \max(m-1)}} (DIF_f^{II}(R_k^{hf}) \cup DIF_i^{III}(R_k^{hf}) \cup DIF_j^{IV}(R_k^{hf}))$  表示干涉差项中前  $m-1$  大的所有项之和。

从  $R_k^{hf}(1) = C_k$  开始,迭代计算公式(27)直至  $R_k^{hf}(n+1) = R_k^{hf}(n)$ ,  $R_k^{hf}(n)$  就是  $JP_k$  在高优先级任务  $\tau_f$  出错情况下的最大响应时间,即,  $\tau_k$  在高优先级任务  $\tau_f$  出错情况下的最大响应时间:

$$R_k^{hf}(n+1) = C_k + \left\lfloor \frac{I_k^{hf}(R_k^{hf}(n))}{m} \right\rfloor \quad (27)$$

依次假设每个高优先级任务(优先级高于  $\tau_k$ )出错,每次假设求出的最大响应时间的最大值就是  $\tau_k$  在任意高优先级任务出错情况下的最大响应时间  $R_k^{hf}$ .

- low-fault(lf)

假设出错任务为  $\tau_f(PRIO_f > PRIO_k)$ ,在问题窗口  $[r_k, R_k^{lf}]$  中,  $\tau_f$  产生 V 类型干涉,优先级高于  $JP_k$  的任务产生 III 类型干涉,因此,  $JP_k$  受到的最大干涉总量为

$$I_k^{lf}(R_k^{lf}) = I_f^{V}(R_k^{lf}) + \sum_{PRIO_i < PRIO_k} INC_i^{III}(R_k^{lf}) + \sum_{\substack{PRIO_i < PRIO_k \\ \max(m-1)}} DIF_i^{III}(R_k^{lf}) \quad (28)$$

其中,  $\sum_{\substack{PRIO_i < PRIO_k \\ \max(m-1)}} DIF_i^{III}(R_k^{lf})$  表示干涉差项中前  $m-1$  大的所有项之和。

从  $R_k^{lf}(1) = C_k$  开始,迭代计算公式(29)直至  $R_k^{lf}(n+1) = R_k^{lf}(n)$ ,  $R_k^{lf}(n)$  就是  $JP_k$  在低优先级任务  $\tau_f$  出错情况下的最大响应时间,即,  $\tau_k$  在低优先级任务  $\tau_f$  出错情况下的最大响应时间:

$$R_k^{lf}(n+1) = C_k + \left\lfloor \frac{I_k^{lf}(R_k^{lf}(n))}{m} \right\rfloor \quad (29)$$

依次假设每个低优先级任务(优先级低于  $\tau_k$ )出错,每次假设求出的最大响应时间的最大值就是  $\tau_k$  在任意低优先级任务出错情况下的最大响应时间  $R_k^{lf}$ .

测试一个任务  $\tau_k$  可调度性的过程是:假设系统中没有错误,计算被测试任务  $\tau_k$  在 no-fault 情况下的最大响应时间  $R_k^{nf}$ ,再依次假设任务集中的一个任务出错,包括被测试任务  $\tau_k$ ,计算  $\tau_k$  在 self-fault, high-fault 和 low-fault 情况下的最大响应时间  $R_k^{sf}$ ,  $R_k^{hf}$  和  $R_k^{lf}$ ,如果 4 种出错模式下  $\tau_k$  的最大响应时间都小于  $D_k$ ,则任务  $\tau_k$  是可调度的。

使用 NPB-RTA 可调度性测试判定任务集的可调度性时,需要按照优先级顺序由高到低依次测试每个任务的可调度性,这是因为 NPB-RTA 测试判定单个任务可调度性时需要使用高优先级任务在各种出错模式下的最大响应时间.如果所有任务都被判定为可调度,则任务集是可调度的;否则,任务集是不可调度的。

## 4 时间复杂度分析

在 NPB-DA 测试中,计算一个任务在被测试任务  $\tau_k$  的问题窗口中最大干涉的时间复杂度是  $O(1)$ ,计算任务集中所有任务对  $\tau_k$  的最大干涉的时间复杂度就是  $O(n)$ ,即:在假设某一个任务出错时,判定  $\tau_k$  可调度性的时间复杂度.判定  $\tau_k$  可调度性的过程需要依次假设所有任务出错,一共有  $n$  种不同假设,因此,判定  $\tau_k$  可调度性的时间复杂度为  $O(n^2)$ .判定任务集可调度性的时间复杂度为  $O(n^3)$ .

在 NPB-RTA 测试中,计算一个任务在被测试任务  $\tau_k$  的问题窗口中的最大干涉的时间复杂度是  $O(1)$ ,计算任务集中所有任务对  $\tau_k$  的最大干涉的时间复杂度就是  $O(n)$ ,在最坏情况下,每次迭代计算问题窗口长度增加 1 个单位时间,因此,假设某一个任务出错时,判定  $\tau_k$  可调度性的时间复杂度是  $O(D_k n)$ .判定  $\tau_k$  可调度性的过程需要依次假设  $n$  个任务中的一个出错,所以判定  $\tau_k$  可调度性的时间复杂度是  $O(D_k n^2)$ ,判定任意一个任务可调度性的时间复杂度是  $O(D_{\max} n^2)$ ,  $D_{\max}$  是所有任务相对截止期的最大值.判定任务集可调度性的时间复杂度为  $O(D_{\max} n^3)$ .

## 5 优先级分配

在实时系统调度中,优先级分配是影响性能的一个重要方面.为了提高全局固定优先级调度算法的调度能力,研究人员提出多种启发式优先级分配算法,例如 DM-DS<sup>[20]</sup>,SM-US<sup>[21]</sup>,TkC<sup>[22]</sup>.文献[23]提出的 OPA 算法在单处理器调度中是最优的优先级分配算法.文献[17]讨论了 OPA 算法对可调度性测试的要求,证明了在多处理器调度中,对于满足 OPA 算法要求(称为 OPA 兼容)的可调度性测试,OPA 算法是最优的优先级分配算法.通过实验说明,使用 DA-LC 可调度性测试和 OPA 算法调度随机生成的任务集可以获得最高的可调度比率.

可调度性测试必须满足 3 个条件才是 OPA 兼容的<sup>[17]</sup>.

- (1) 被测试任务  $\tau_k$  的可调度性可以取决于高优先级任务的自身属性(周期、截止期、最坏情况运行时间),但与它们相互的优先级顺序无关;
- (2) 被测试任务  $\tau_k$  的可调度性可以取决于低优先级任务的自身属性,但与它们相互的优先级顺序无关;
- (3) 将任意两个相邻优先级任务的优先级互换,如果原先低优先级任务是可调度的,在获得高优先级之后仍然是可调度的.

**定理 1.** NPB-DA 可调度性测试是 OPA 兼容的.

证明:假设被测试任务为  $\tau_k$ ,任务集中的其他任务可能对  $\tau_k$  产生 A,B,C 类型干涉中的一种(见第 3.1 节).从公式(1)~公式(12)可知:任意一个任务  $\tau_i$  在长度为  $L$  的时间窗口内对  $\tau_k$  的最大干涉只和  $\tau_i$  的自身属性相关,即,  $T_i, D_i, C_i$  和  $E_i$ ,因此,  $\tau_k$  受到的最大干涉总量也和其他任务的自身属性相关,所以 NPB-DA 满足条件(1)和条件(2).假设有两个被判定为可调度的任务  $\tau_i$  和  $\tau_j$ ,且  $PRIOR_i = PRIOR_j - 1$ ,即,二者有相邻优先级且  $\tau_i$  的优先级高,如果互换二者的优先级,从公式(13)、公式(15)和公式(17)可知:对于  $\tau_j$  来说,其在问题窗口  $[r_j, D_j]$  内受到的最大干涉总量减少了  $\tau_i$  产生的项,而其他项不变,即,最大干涉总量下降,所以  $\tau_j$  的优先级提升之后依然是可调度的,因此, NPB-DA 满足条件(3).综上所述, NPB-DA 可调度性测试是 OPA 兼容的.  $\square$

**定理 2.** NPB-RTA 可调度性测试不是 OPA 兼容的.

证明:假设被测试任务为  $\tau_k$ ,在 NPB-RTA 中,计算高优先级任务  $\tau_i$  在长度为  $L$  的时间窗口内对  $\tau_k$  的最大干涉,需要使用  $\tau_i$  在各种错误模式下的最大响应时间参数(公式(19)~公式(22)),  $\tau_i$  的最大响应时间取决于其受到的最大干涉总量(公式(23)、公式(26)和公式(28)),而  $\tau_i$  的优先级决定了其他任务对其的干涉情况,所以高优先级任务的优先级排列会影响各个任务的最大响应时间,也就对被测试任务  $\tau_k$  的可调度性判定产生影响,因此, NPB-RTA 可调度性测试不满足条件(1),不是 OPA 兼容的.  $\square$

NPB-DA 测试和 OPA 算法兼容,因此使用 NPB-DA 测试时 OPA 算法就是最优的优先级分配算法<sup>[17]</sup>.而 NPB-RTA 测试和 OPA 算法不兼容, NPB-RTA 测试只能用于使用启发式优先级分配算法分配优先级的任务集,即:先使用某种启发式优先级分配算法给任务集中的所有任务分配优先级,再使用 NPB-RTA 测试判定任务集的

可调度性.

## 6 仿真实验

本文采用随机生成任务集的方法,以处理器需求( $m$ )和任务集使用率( $U$ )的比值( $m/U$ )为评价指标,比较本文提出的 FTGS-NPB、不考虑容错的全局调度算法(global scheduling,简称 GS)以及副版本继承主版本优先级的全局容错调度算法(fault tolerant global scheduling with priorityinheritance,简称 FTGS-PI)在调度相同任务集时需要的处理器资源, $m/U$  比值越小,说明该算法调度性能越好.在实验中加入 GS 算法,是为了直观地展示不考虑容错时调度相同任务集需要的处理器资源,使读者可以清晰地看出实现容错需要的资源代价.FTGS-PI 是文献[11]中提出的容错调度算法取  $f=1$  的形式,该算法采用优先级继承策略,即,发生错误后副版本作业就绪并继承主版本作业的优先级.使用优先级继承策略会造成副版本作业在有限的运行窗口内受到很大的干涉,于是,为保证其实时性,需要增加大量的额外处理器资源.FTGS-NPB 主要解决的就是这个问题.

生成随机任务集采用和文献[6-10]中类似的方法,任务集中单个任务的使用率( $C/T$ )上限设定为  $a$ ,任务周期  $T$  在  $[1,500]$  内均匀分布,最坏情况运行时间  $C$  取  $[1,aT]$  中的随机值,截止期  $D=T$ ,任务的副版本简单的设定为主版本的复制.

实验共 4 组, $a$  分别取 0.2,0.3,0.4 和 0.5.在每组实验中,任务集中的任务数量  $n$  以 50 个为间隔取  $[50,300]$  中的整数,对每一个  $(a,n)$  组合重复 30 次实验,每次实验分别使用在不考虑容错时性能较好的 DkC 优先级分配算法和 OPA 优先级分配算法<sup>[17]</sup>分配优先级,使用 DkC 算法时采用基于响应时间分析(RTA)的可调度性测试,使用 OPA 算法时采用基于截止期分析(DA)的可调度性测试(GS 中采用文献[17]中的可调度性测试,FTGS-PI 中使用文献[11]中的可调度性测试,FTGS-NPB 中使用 NPB-DA 可调度性测试).在单次实验中通过在  $[U, n]$  区间从低到高搜索的方法获得使任务集可调度的最少处理器数量  $m$ ,取 30 次实验平均值作为有效结果.实验结果如图 5~图 8 所示.

从图 5~图 8 中可以看出:为实现容错,FTGS-NPB 和 FTGS-PI 都需要额外的处理器资源.与 GS 相比:

- 当使用 DkC 算法和基于 RTA 的测试时,FTGS-NPB 的  $m/U$  比值最小增加了 10.04%( $a=0.2,n=50$ ),最大增加了 36.24%( $a=0.5,n=200$ ),平均增加 22.98%;FTGS-PI 的  $m/U$  比值最小增加了 22.23%( $a=0.2,n=50$ ),最大增加了 65.37%( $a=0.4,n=300$ ),平均增加 43.52%;
- 当使用 OPA 算法和基于 DA 的测试时,FTGS-NPB 的  $m/U$  比值最小增加了 3.84%( $a=0.2,n=50$ ),最大增加了 16.44%( $a=0.4,n=100$ ),平均增加 11.67%;FTGS-PI 的  $m/U$  比值最小增加了 12.83%( $a=0.2,n=200$ ),最大增加了 34.06%( $a=0.4,n=100$ ),平均增加 25.54%.

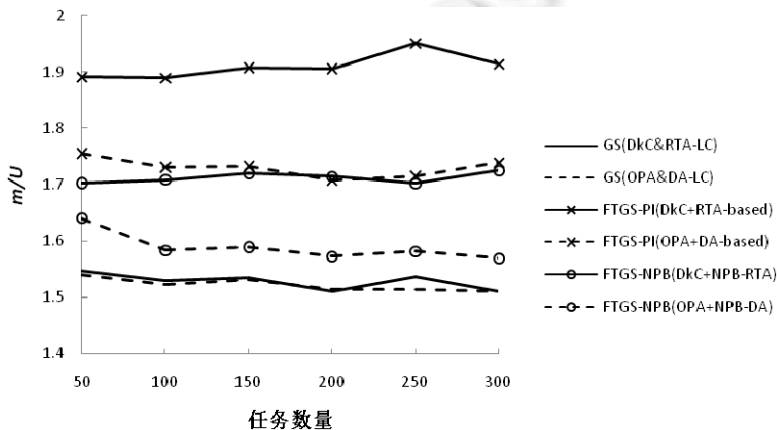


Fig.5  $m/U$  ratio when  $a=0.2$

图 5  $a=0.2$  时,不同算法的  $m/U$  比值

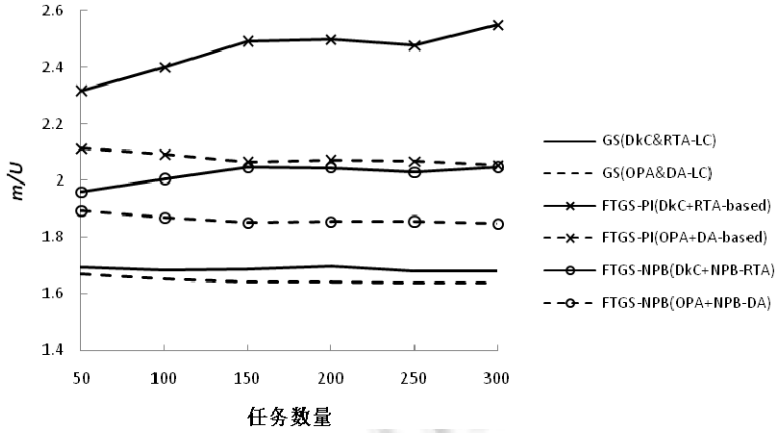


Fig.6  $m/U$  ratio when  $a=0.3$

图 6  $a=0.3$  时,不同算法的  $m/U$  比值

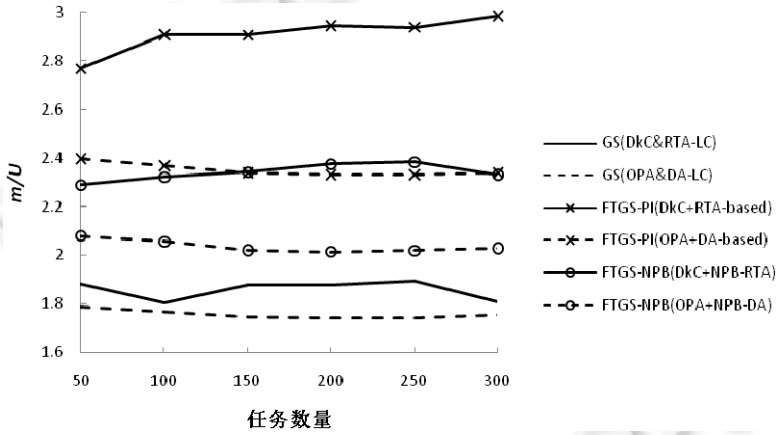


Fig.7  $m/U$  ratio when  $a=0.4$

图 7  $a=0.4$  时,不同算法的  $m/U$  比值

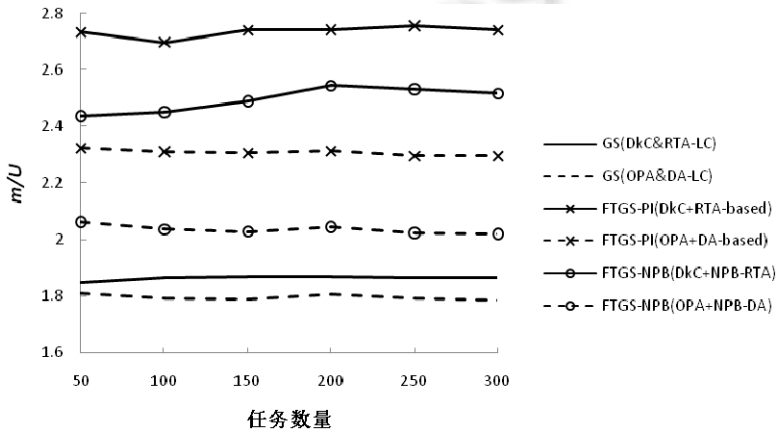


Fig.8  $m/U$  ratio when  $a=0.5$

图 8  $a=0.5$  时,不同算法的  $m/U$  比值

当采用相同的优先级分配算法和可调度性测试时,在各种  $a, n$  取值下, FTGS-NPB 的  $m/U$  比值都比 FTGS-PI 小, 即, FTGS-NPB 需要较少的处理器资源就可以容错调度相同的实时任务集. 产生这一结果的原因在于: 在 FTGS-PI 中, 主版本作业出错后留给副本作业运行的时间窗口相对较短, 而副本作业继承主版本作业的优先级, 如果其优先级较低, 在这个时间窗口内处理器会被大量高优先级作业长时间占用, 该副本作业很容易错失截止期, 为了保证低优先级副本作业的实时性, 就需要增加大量处理器资源来运行低优先级副本作业运行窗口内的大量高优先级作业, 导致 FTGS-PI 的  $m/U$  比值大幅增加. 而在 FTGS-NPB 中, 副本作业有最高优先级, 不受到干涉, 只需要主版本作业的最迟出错时间, 即, 最大响应时间在  $D_k - E_k$  之前, 副本作业就一定可以在截止期之前响应. 当  $a$  取值较小时, 所有任务的副本最坏情况运行时间都远小于其截止期, 因此, 相比于 GS, FTGS-NPB 只是需要在一个略小的时间区间内能够成功调度主版本作业, 需要的额外处理器资源也就很少. 当  $a$  取值较大时, 优先级分配算法会将高优先级分配给使用率大的任务, 高优先级主版本的最坏情况响应时间短, 不需要额外处理器资源或是需要少量额外处理器资源就能够满足副本正确响应的需求.

同时, 在同一种调度算法中 (GS, FTGS-PI 或 FTGS-NPB), 使用 OPA 算法和基于 DA 的可调度测试时的  $m/U$  比值比使用 DkC 算法和基于 RTA 的可调度测试时小. 这一实验结果和文献[17]中的实验结果类似, 说明前一种组合的调度能力在考虑容错和不考虑容错的情况下都更强. 优先级分配算法对调度算法的影响可以从 FTGS-NPB (DkC+NPB-RTA) 和 FTGS-PI (OPA+DA-based) 两条曲线中看出: 当  $a$  取 0.2, 0.3 和 0.4 时, 采用 DkC 优先级分配算法和 NPB-RTA 测试的 FTGS-NPB 算法的  $m/U$  比值略低于采用 OPA 优先级分配算法和 DA-based 测试的 FTGS-PI 算法; 但当  $a$  取 0.5 时, 后者的  $m/U$  比值低于前者, 说明尽管 FTGS-NPB 算法的调度性能比 FTGS-PI 算法好, 优先级分配算法和可调度测试的差异可能会抵消调度算法的性能提升.

## 7 结束语

本文针对全局容错调度中副本运行时间窗口小、调度难度大的问题, 提出了副本不可抢占的全局容错调度算法 FTGS-NPB. 不可抢占的副本可以在主版本出错后的最短时间内响应, 最大程度提高了副本的实时性, 从而减少了实现容错所需的额外资源. 仿真实验结果说明: 和基于优先级继承策略的全局容错调度算法相比, FTGS-NPB 可以节省大量的处理器资源.

## References:

- [1] Monot A, Navet N, Bavoux B, Simonot-Lion F. Multisource software on multicore automotive ECUs—Combining runnable sequencing with task scheduling. *IEEE Trans. on Industrial Electronics*, 2012, 59(10):3934–3942. [doi: 10.1109/TIE.2012.2185913]
- [2] Navet N, Monot A, Bavoux B, Simonot-Lion F. Multi-Source and multicore automotive ECUs—OS protection mechanisms and scheduling. In: *Proc. of the IEEE Int'l Symp. on Industrial Electronics*. IEEE, 2010. 3734–3741. [doi: 10.1109/ISIE.2010.5637677]
- [3] Mossinger J. Software in automotive systems. *IEEE Software*, 2010, 27(2):92–94. [doi: 10.1109/MS.2010.55]
- [4] Gaska T, Werner B, Flagg D. Applying virtualization to avionics systems—The integration challenges. In: *Proc. of the 29th Digital Avionics Systems Conf.* Salt Lake City: IEEE, 2010. 2155–2195. [doi: 10.1109/DASC.2010.5655297]
- [5] Krishna CM. Fault-Tolerant scheduling in homogeneous real-time systems. *ACM Computing Surveys*, 2014, 46(4):48:1–48:34. [doi: 10.1145/2534028]
- [6] Bertossi AA, Mancini LV, Menapace A. Scheduling hard-real-time tasks with backup phasing delay. In: *Proc. of the 10th IEEE Int'l Symp. on Distributed Simulation and Real-Time Applications*. IEEE, 2006. 107–118. [doi: 10.1109/DS-RT. 2006.33]
- [7] Wang J, Sun JL, Wang XY, Yang XH, Wang SK, Chen JB. Efficient scheduling algorithm for hard real-time tasks in primary-backup based multiprocessor systems. *Ruan Jian Xue Bao/Journal of Software*, 2009, 20(10):2628–2636. <http://www.jos.org.cn/1000-9825/577.htm> [doi: 10.3724/SP.J.1001.2009.00577]
- [8] Zhu P, Yang FM, Tu G. Real-Time fault-tolerant scheduling for distributed systems based on improving priority of passive backup. *Journal of Computer Research and Development*, 2010, 47(11):2003–2010 (in Chinese with English abstract). [doi: 10.3724/SP.J.1001.2009.00577]
- [9] Chen HM, Luo W, Wang W, Xiang J. A novel real-time fault-tolerant scheduling algorithm based on distributed control systems. In: *Proc. of the Int'l Conf. on Computer Science and Service System*. Nanjing: IEEE, 2011. 80–83. [doi: 10.1109/CSSS.2011.5972233]

- [10] Zhu P, Yang FM, Tu G, Zhang J, Zhou ZY. Feasible fault-tolerant scheduling algorithm for distributed hard-real-time system. Ruan Jian Xue Bao/Journal of Software, 2012,23(4):1010–1021 (in Chinese with English abstract). <http://www.jos.org.cn/1000-9825/4004.htm> [doi: 10.3724/SP.J.1001.2012.04004]
- [11] Pathan RM, Jonsson J. FTGS: Fault-tolerant fixed-priority scheduling on multiprocessors. In: Proc. of the IEEE 10th Int'l Conf. on Trust, Security and Privacy in Computing and Communications. Changsha: IEEE, 2011. 1164–1175. [doi: 10.1109/TrustCom.2011.158]
- [12] Berten V, Goossens J, Jeannot E. A probabilistic approach for fault tolerant multiprocessor real-time scheduling. In: Proc. of the 20th Int'l Parallel and Distributed Processing Symp. Rhodes Island: IEEE, 2006. 1–10. [doi: 10.1109/IPDPS.2006.1639409]
- [13] Samala AK, Mallb R, Tripathy C. Fault tolerant scheduling of hard real-time tasks on multiprocessor system using a hybrid genetic algorithm. Swarm and Evolutionary Computation, 2014,14(1):92–105. [doi: 10.1016/j.swevo.2013.10.002]
- [14] Baumann R. Soft errors in advanced computer systems. Design & Test of Computers, 2005,22(3):258–266. [doi: 10.1109/MDT.2005.69]
- [15] Krishna I, Krishna CM. Fault-Tolerant Systems. New York: Morgan Kaufmann Publishers, 2007.
- [16] Guan N, Stigge M, Wang Y, Ge Y. New response time bounds for fixed priority multiprocessor scheduling. In: Proc. of the Real-Time Systems Symp. Washington: IEEE, 2009. 387–397. [doi: 10.1109/RTSS.2009.11]
- [17] Davis RI, Burns A. Improved priority assignment for global fixed priority pre-emptive scheduling in multiprocessor real-time systems. Real-Time Systems, 2011,47(1):1–40. [doi: 10.1007/s11241-010-9106-5]
- [18] Lee J, Shin I. Limited carry-in technique for real-time multi-core scheduling. Journal of Systems Architecture, 2013,59(7):372–375. [doi: 10.1016/j.sysarc.2013.05.012]
- [19] Davis RI, Burns A, Marinho J, Nelis V, Petters SM, Bertogna M. Global fixed priority scheduling with deferred pre-emption. In: Proc. of the IEEE 19th Int'l Conf. on Embedded and Real-Time Computing Systems and Applications. Taipei: IEEE, 2013. 1–11. [doi: 10.1109/RTCSA.2013.6732198]
- [20] Bertogna M, Cirinei M, Lipari G. New schedulability tests for real-time task sets scheduled by deadline monotonic on multiprocessors. In: Proc. of the 9th Int'l Conf. on Principles of Distributed Systems. Pisa: Springer-Verlag, 2005. 306–321. [doi: 10.1007/11795490\_24]
- [21] Andersson B. Global static-priority preemptive multiprocessor scheduling with utilization bound 38%. In: Proc. of the 12th Int'l Conf. on Principles of Distributed Systems. Luxor: Springer-Verlag, 2008. 73–88. [doi: 10.1007/978-3-540-92221-6\_7]
- [22] Andersson B, Jonsson J. Fixed-Priority preemptive multiprocessor scheduling: To partition or not to partition. In: Proc. of the 7th Int'l Conf. on Real-Time Computing Systems and Applications. Cheju: IEEE, 2000. 337–346. [doi: 10.1109/RTCSA.2000.896409]
- [23] Audsley NC. On priority assignment in fixed priority scheduling. Information Processing Letters, 2001,79(1):39–44. [doi: 10.1016/S0020-0190(00)00165-4]

#### 附中文参考文献:

- [8] 朱萍,阳富民,涂刚.基于被动副版本优先级提高策略的分布式实时容错调度.计算机研究与发展,2010,47(11):2003–2010.
- [10] 朱萍,阳富民,涂刚,张杰,周正勇.一种可行的分布式硬实时容错调度算法.软件学报,2012,23(4):1010–1021. <http://www.jos.org.cn/1000-9825/4004.htm> [doi: 10.3724/SP.J.1001.2012.04004]



彭浩(1984—),男,安徽合肥人,博士,主要研究领域为硬实时系统.



孙峰(1989—),男,博士,主要研究领域为嵌入式系统.



陆阳(1967—),男,博士,教授,博士生导师,CCF高级会员,主要研究领域为安全关键系统.



韩江洪(1954—),男,教授,博士生导师,主要研究领域为安全关键系统.